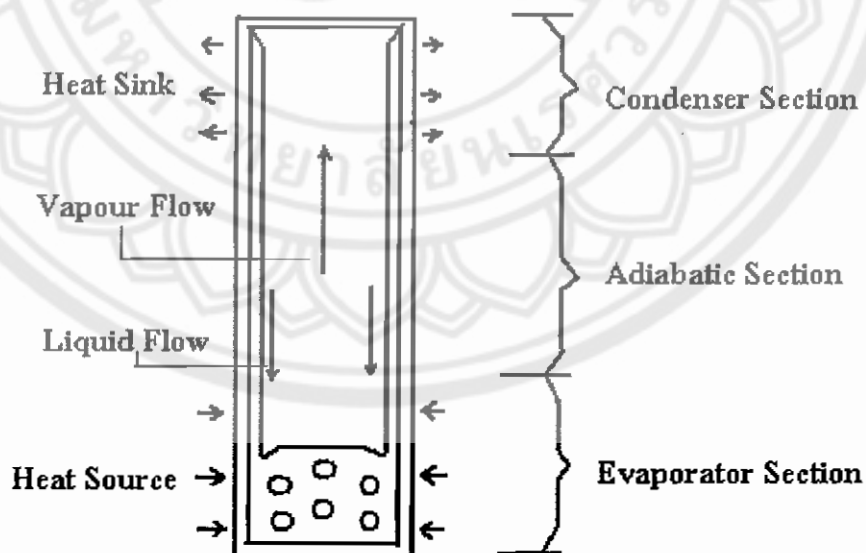


## บทที่ 2 หลักการและทฤษฎี

### 2.1 หลักการทำงานของเทอร์โมไซฟอน

เทอร์โมไซฟอนสองสถานะแบบเปิดจะมีโครงสร้างเป็นภาชนะปิดโดยภายในบรรจุสารทำงานจำนวนหนึ่ง ทำงานอยู่ภายใต้แรงโน้มถ่วงของโลก โดยได้แบ่งเป็นส่วนรับความร้อนหรือส่วนทำระเหย (Evaporator section) ส่วนที่ไม่มีการถ่ายเทความร้อน (Adiabatic section) และส่วนคายความร้อนหรือส่วนควบแน่น (Condenser section) ซึ่งการติดตั้งใช้งานจะต้องให้ส่วนทำระเหยอยู่ในระดับที่ต่ำกว่าส่วนควบแน่นเสมอเมื่อติดตั้งอยู่กับภายใต้สนามแรงโน้มถ่วงของโลก ส่วนทำระเหยจะสัมผัสอยู่กับแหล่งอุณหภูมิสูงและส่วนควบแน่นจะสัมผัสอยู่กับแหล่งอุณหภูมิต่ำ เมื่อสารทำงานอยู่ในส่วนทำระเหยรับพลังงานความร้อนจากแหล่งอุณหภูมิสูงก็จะทำให้สารทำงานเปลี่ยนสถานะเป็นไอลอยขึ้นสู่ด้านบนซึ่งเป็นส่วนควบแน่น เมื่อไอไปสัมผัสกับพื้นผิวของส่วนควบแน่นที่อยู่ในส่วนอุณหภูมิต่ำก็จะปล่อยความร้อนแฝงออกมาให้กับแหล่งอุณหภูมิต่ำแล้วส่วนตัวสารทำงานก็จะเปลี่ยนเป็นของเหลวไหลกลับสู่ส่วนทำระเหยตามผนังท่อโดยอาศัยแรงโน้มถ่วงของโลกเพื่อย้อนกลับไปรับพลังงานความร้อนใหม่ต่อไป ดังรูปที่ 2.1



รูปที่ 2.1 การทำงานของเทอร์โมไซฟอน[2]

### 2.2 การถ่ายเทความร้อนทั้งหมด

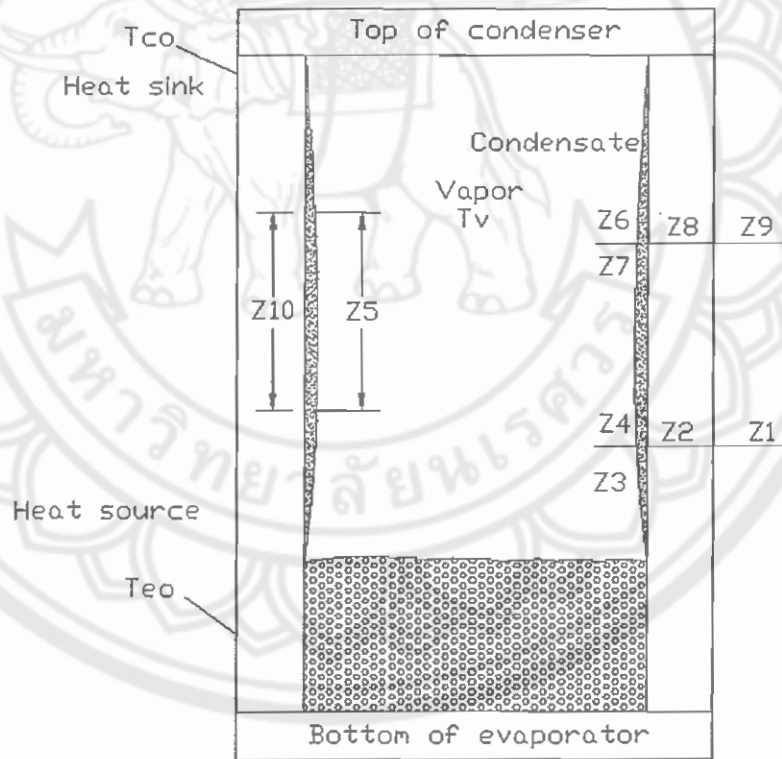
สำหรับการทำงานของเทอร์โมไซฟอนแบบปิดสองสถานะ (Two-phase closed Thermosyphon) ความต้านทานความร้อนทั้งหมด (Z) อัตราการถ่ายเทความร้อนทั้งหมด (Q) ผลต่างอุณหภูมิระหว่างแหล่งผลิตความร้อนกับแหล่งระบายความร้อน ( $\Delta T = T_{so} - T_{si}$ ) จะได้

$$Q = \Delta T / Z \quad (2.1)$$

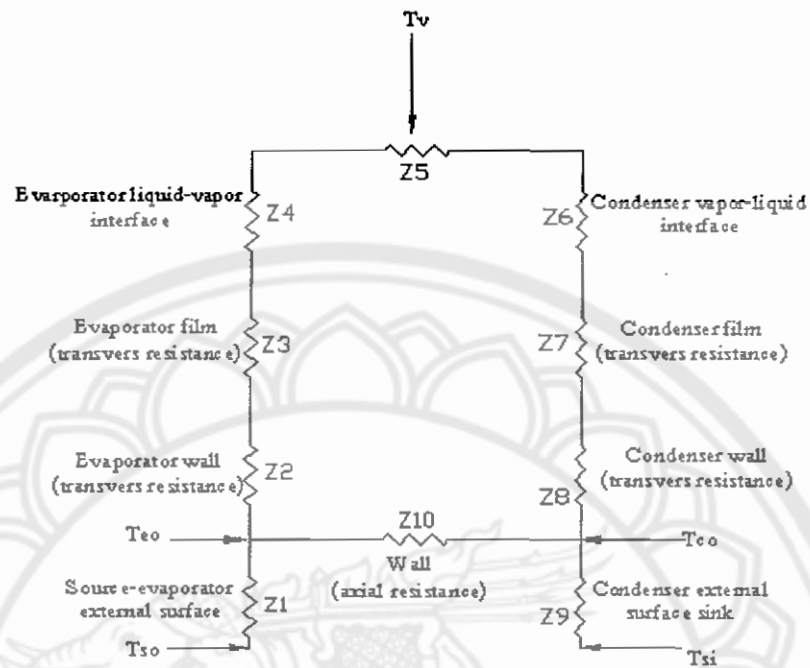
โดยที่  $T_{so}$  = อุณหภูมิที่ผิวด้านนอก

$T_{si}$  = อุณหภูมิที่ผิวด้านใน

รูปแสดงตำแหน่งค่าความต้านทานการถ่ายเทความร้อนดังรูป 2.2 และวงจรความต้านทานการถ่ายเทความร้อนภายในเทอร์โมไซฟอนแสดงดังรูปที่ 2.3



รูปที่ 2.2 แสดงตำแหน่งค่าความต้านทานการถ่ายเทความร้อนทั้งหมด[2]



รูปที่ 2.3 วงจรความต้านทานการถ่ายเทความร้อนภายในเทอร์โมไซฟอน [2]

$Z_1$  และ  $Z_9$  เป็นความต้านทานความร้อนระหว่างแหล่งผลิตความร้อนและผิวข้างนอกของส่วนทำระเหยและระหว่างผิวของส่วนควบแน่นกับแหล่งระบายความร้อนตามลำดับ

$$Z_1 = 1/(h_{\infty} S_{\infty}) \text{ and } Z_9 = 1/(h_{\infty} S_{\infty}) \quad (2.2)$$

โดยที่  $h_{\infty}$  = ค่าสัมประสิทธิ์การพาความร้อนที่ผิวนอกของส่วนทำระเหย

$S_{\infty}$  = พื้นที่ผิวข้างนอกในส่วนทำระเหย

$h_{\infty}$  = ค่าสัมประสิทธิ์การพาความร้อนที่ผิวนอกของส่วนควบแน่น

$S_{\infty}$  = พื้นที่ผิวข้างนอกในส่วนควบแน่น

$Z_2$  และ  $Z_8$  เป็นความต้านทานความร้อนที่ผ่านความหนาของผนังของเทอร์โมไซฟอนในส่วนทำระเหยและส่วนควบแน่น ตามลำดับ

$$Z_2 = \ln(D_o/D)/2\pi l_x \lambda_x \text{ และ } Z_8 = \ln(D_o/D)/2\pi l_x \lambda_x \quad (2.3)$$

โดยที่  $D_o$  = เส้นผ่านศูนย์กลางภายนอก

$D$  = เส้นผ่านศูนย์กลางภายใน

$\lambda_x$  = ค่าสัมประสิทธิ์การนำความร้อนในแนวแกน

$Z_3$  และ  $Z_7$  เป็นความต้านทานความร้อนภายในของของเหลวที่กำลังเดือดและควบแน่นในเทอร์โมไซฟอนตามลำดับ และขึ้นอยู่กับสมบัติของของไหล ขนาดของเทอร์โมไซฟอนและอัตราการถ่ายเทความร้อน วิธีการประมาณ  $Z_3$  และ  $Z_7$  สามารถหาได้ดังนี้

$$Z_3 = Z_{3p}F + Z_{3f}(1-F) \quad (2.4)$$

$$Z_{3f} = CQ^{1/3} / D^{4/3} g^{1/3} l_c (\Phi_2)^{4/3} \quad (2.5)$$

$$Z_{3p} = 1 / \Phi_3 g^{0.2} Q^{0.4} (\pi D l_c)^{0.6} \quad (2.6)$$

โดยที่  $Z_{3p}$  = ความต้านทานความร้อนในแอ่งเดือด

$Z_{3f}$  = ความต้านทานความร้อนฟิล์ม

โดยที่สารทำงานเป็นน้ำ  $\Phi_3 = 63(P_v/P_s)^{0.23}$

$$Z_7 = CQ^{1/3} / D^{4/3} g^{1/3} l_c (\Phi_2)^{4/3} \quad (2.7)$$

โดยที่  $C = 0.235$

$Z_4$  และ  $Z_6$  เป็นความต้านทานความร้อนที่เกิดขึ้นระหว่างไอแก๊สกับผิวของของเหลวในส่วนทำระเหยและส่วนควบแน่น ตามลำดับ แต่น้อยมากดังนั้นจึงไม่นำมาคิด

$Z_5$  เกิดจากความดันคร่อมระหว่างส่วนทำระเหยและส่วนควบแน่น แต่น้อยมากดังนั้นจึงไม่นำมาคิด

$Z_{10}$  เป็นความต้านทานความร้อนตามแนวแกนของผนังของภาชนะ

$$Z_{10} = (0.5l_c + l_w + 0.5l_c) / (A_w \lambda_w) \quad (2.8)$$

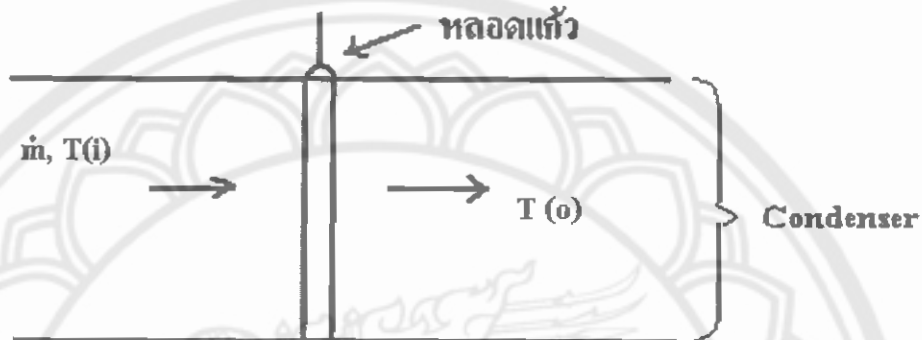
โดยที่  $A_w$  เป็นพื้นที่หน้าตัดของผนัง

$\lambda_w$  เป็นสัมประสิทธิ์การนำความร้อน

สำหรับตำแหน่งการทำงานปกติ เมื่อส่วนทำระเหยอยู่ต่ำกว่าส่วนควบแน่นการนำความร้อนผ่านผนังตามแนวแกนที่จะมีผลน้อยมากต่อสมรรถนะของเทอร์โมไซฟอน ในทางกลับกันถ้าส่วนทำระเหยอยู่สูงกว่าส่วนควบแน่นการถ่ายเทความร้อนในเทอร์โมไซฟอน จะเกิดขึ้นจากการนำความร้อนผ่านผนังตามแนวแกนต่ออย่างเดียวกัน ซึ่งมีค่าน้อยมากดังนั้นสามารถใช้เทอร์โมไซฟอนเป็น วงจรความร้อน (Thermal diode) ได้

### 2.3 การคำนวณอัตราการถ่ายเทความร้อนในส่วนควบแน่น

จากการทดลองได้ทำการบันทึกค่าของอัตราการไหลของน้ำเย็น, อุณหภูมิของน้ำเย็นขาเข้า และค่าอุณหภูมิของน้ำเย็นขาออก และนำค่าจากตารางมาคำนวณค่าการถ่ายเทความร้อนของเทอร์โมไซฟอนทั้งสองหลอดตามสมการที่ 2.9



รูปที่ 2.4 รูปประกอบการคำนวณอัตราการถ่ายเทความร้อนในส่วนควบแน่น

$$Q = \dot{m} C_p \Delta T = \dot{m} C_p (T_o - T_i) \quad (2.9)$$

โดยที่  $Q$  เป็นอัตราการถ่ายเทความร้อน (kW)

$\dot{m}$  เป็นอัตราการไหลของน้ำ (kg/s)

$C_p$  เป็นค่าความจุความร้อนจำเพาะ (kJ/kg.K)

$\Delta T$  เป็นความแตกต่างของอุณหภูมิตั้งแต่ขาเข้าถึงขาออก (K)

$T_i$  เป็นอุณหภูมิที่ขาเข้า (K)

$T_o$  เป็นอุณหภูมิที่ขาออก (K)

### 2.4 รูปแบบการไหลภายในท่อหน้าตัดกลมในแนวตั้ง

รูปแบบการไหลภายในท่อหน้าตัดกลมอยู่ในแนวตั้งที่ทั้งไอและของเหลวไหลขึ้นด้านบน แบ่งได้ 5 รูปแบบตามรูปที่ 2.5

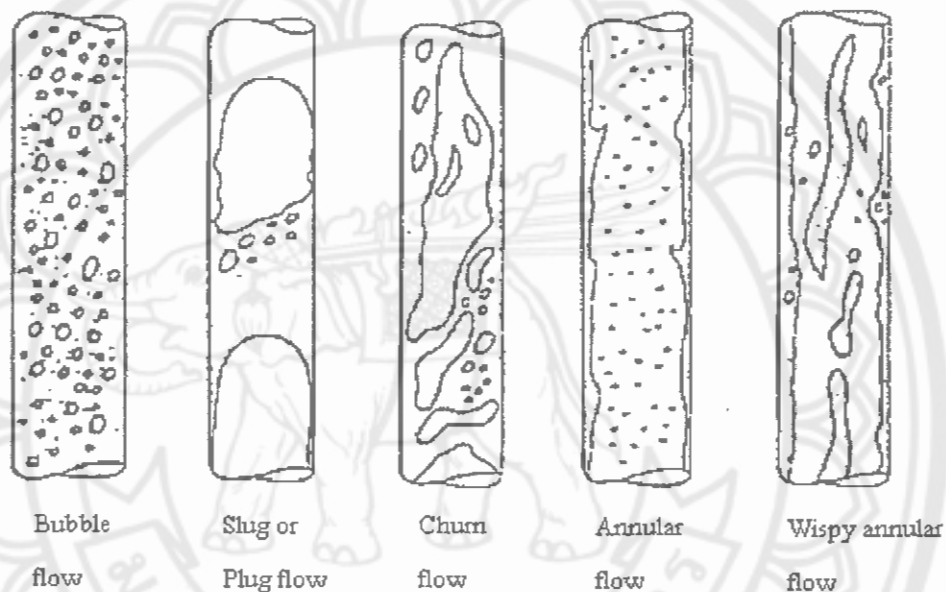
2.4.1 Bubble flow รูปแบบการไหลที่มีฟองไทรงกลมเล็กๆ ไหลปะปนของเหลวขึ้นสู่ด้านบน

2.4.2 Slug flow หรือ Plug flow รูปแบบการไหลที่มีฟองไทรงที่มีรูปร่างคล้ายลูกกระสุนขึ้นสู่ด้านบน โดยมีของเหลวขึ้นกลางพร้อมกับมีไอปะปนข้าง โดยขณะเดียวกันก็มีฟิล์มของเหลวล้อมรอบฟองไทรงกระสุน

2.4.3 Churn flow รูปแบบการไหลที่มีรูปร่างของฟองบิดเบี้ยวไปเนื่องจากฟองไทรงมีความเร็วในการไหลเพิ่มขึ้น โดยที่รูปแบบการไหลแบบนี้จะไม่ปรากฏให้เห็นเมื่อท่อมีขนาดเล็กๆ

2.4.4 Annular flow รูปแบบการไหลที่มีการไหลของไออยู่ในแกนกลางท่อ โดยมีหยดของเหลวเล็กๆปะปนไปด้วยและขณะเดียวกันก็มีการไหลเป็นฟิล์มที่ผิวท่อ

2.4.5 Wispy annular flow รูปแบบการไหลที่มีการไหลขึ้นของไออยู่แกนกลางท่อโดยที่หยดของเหลวได้ปะปนไปกลับไอนั้นได้ไปรวมตัวกันเป็นริ้วปนไปด้วย และขณะเดียวกันก็มีการไหลของเหลวเป็นฟิล์มที่ผิวท่อ ซึ่งการที่เกิดการรวมตัวของหยดของเหลวเล็กๆนั้นก็เนื่องจากอัตราการไหลของฟิล์มของเหลวเพิ่มขึ้นทำให้ความหนาแน่นของหยดของเหลวมากขึ้นด้วย

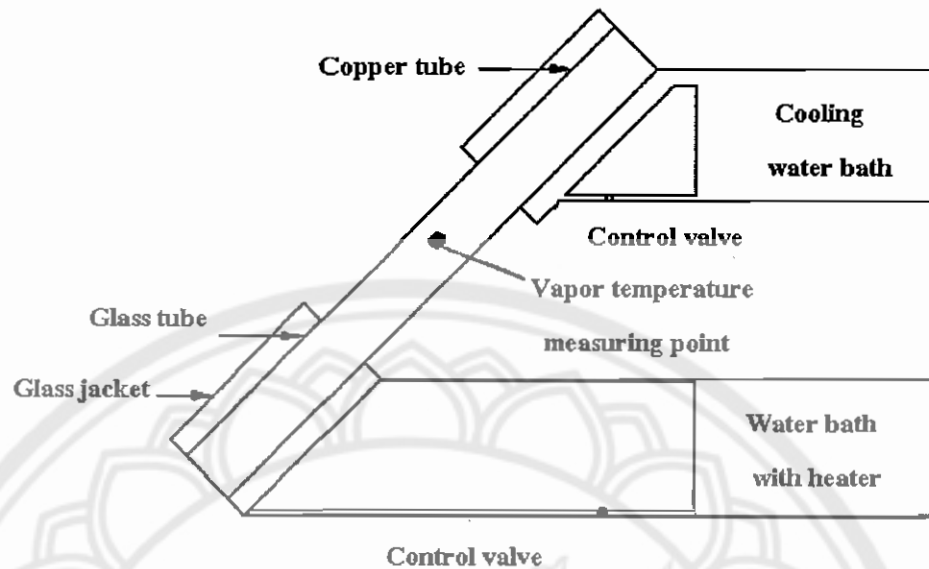


รูปที่ 2.5 รูปแบบการไหลภายในท่อหน้าตัดกลมอยู่ในแนวดิ่ง [1]

## 2.5 ศึกษาผลงานการวิจัยที่เกี่ยวข้อง

จากงานวิจัยของ Terdtoon et. al. (1998) เรื่อง ผลกระทบของอัตราส่วนสนทรรศน์ที่มีต่อรูปแบบการไหลภายในเทอร์โมไซฟอนแบบปิดสองสถานะในแนวเอียงที่สภาวะการทำงานปกติ โดยมีอุปกรณ์การทดสอบดังรูปที่ 2.6

เทอร์โมไซฟอนถูกสร้างเหมือนหลอด มีสองส่วน คือส่วนที่เป็นแก้วที่ส่วนทำระเหยและทองแดงที่ส่วนที่ไม่มีการถ่ายเทความร้อนและส่วนควบแน่น ส่วนที่เป็นแก้วจะสามารถสังเกตการไหลภายในที่ส่วนทำระเหยได้ ขณะที่ในส่วนของทองแดงจะมีการควบแน่นเกิดขึ้น เส้นผ่านศูนย์กลางภายในท่อเท่ากับ 11.1 mm ส่วนควบแน่นยาวเท่ากับ 440 mm สำหรับความยาวของส่วน



**รูปที่ 2.6** เทอร์โมไซฟอนแบบปิดสองสถานะ ในแนวเอียงที่สภาวะการทำงานปกติ [3]

ทำระเหยและส่วนที่ไม่มีการถ่ายเทความร้อนจะเปลี่ยนแปลงตามค่าของ  $Le/d$  ที่ใช้ในการทดลอง ใช้ R123 เป็นสารทำงาน เนื่องจากเป็นสารที่ไม่มี CFC ใช้น้ำร้อนเป็นความร้อนของส่วนระเหย ความร้อนและมีการระบายความร้อนจากส่วนควบแน่นด้วยน้ำเย็น โดยมีการติดตั้งกล้องวีดีโอ บันทึกการไหลไว้ตลอดและบันทึกภาพนิ่งไว้ในเวลาเดียวกัน แล้วควบคุมอุณหภูมิของไอที่ 27-33°C อัตราส่วนการเติมคือ 80% ขณะที่  $Le/d$  จะเปลี่ยนแปลงเป็น 5, 10, และ 30 มุมเอียงคือ 90°, 30° และ 5° จากแนวระดับ และในการทดลองได้มีการหาค่าอัตราการถ่ายเทความร้อนของเทอร์โมไซฟอนไว้ด้วย จากการศึกษาจะเห็นถึงผลกระทบของอัตราส่วนสนทรรศน์ ที่มีต่อปรากฏการณ์การไหลภายในของเทอร์โมไซฟอน แบบเอียงสองสถานะ ที่สภาวะทำงานปกติ ซึ่งสามารถสรุปได้ดังนี้

ที่อัตราส่วนสนทรรศน์ 10 และสูงกว่า การไหลภายในเปลี่ยนจากการไหลแบบ annular และการไหลแบบ churn ที่ตำแหน่งแนวตั้งไปเป็นการไหลแบบ slug ในตำแหน่งเอียงที่มีอัตราการถ่ายเทความร้อนสูงขึ้น อย่างไรก็ตามในกรณีของอัตราส่วนสนทรรศน์น้อยกว่า 10 การเอียงเทอร์โมไซฟอนจากแนวตั้งไม่มีผลต่อรูปแบบการไหลภายในที่เต็มไปด้วยฟองไอ (bubbly flow) จะเห็นว่ายังขาดการศึกษาถึงอุณหภูมิการทำงานที่มีต่อรูปแบบการไหล และค่าการถ่ายเทความร้อนของเทอร์โมไซฟอน ซึ่งจะศึกษาเพิ่มเติมในโครงการนี้